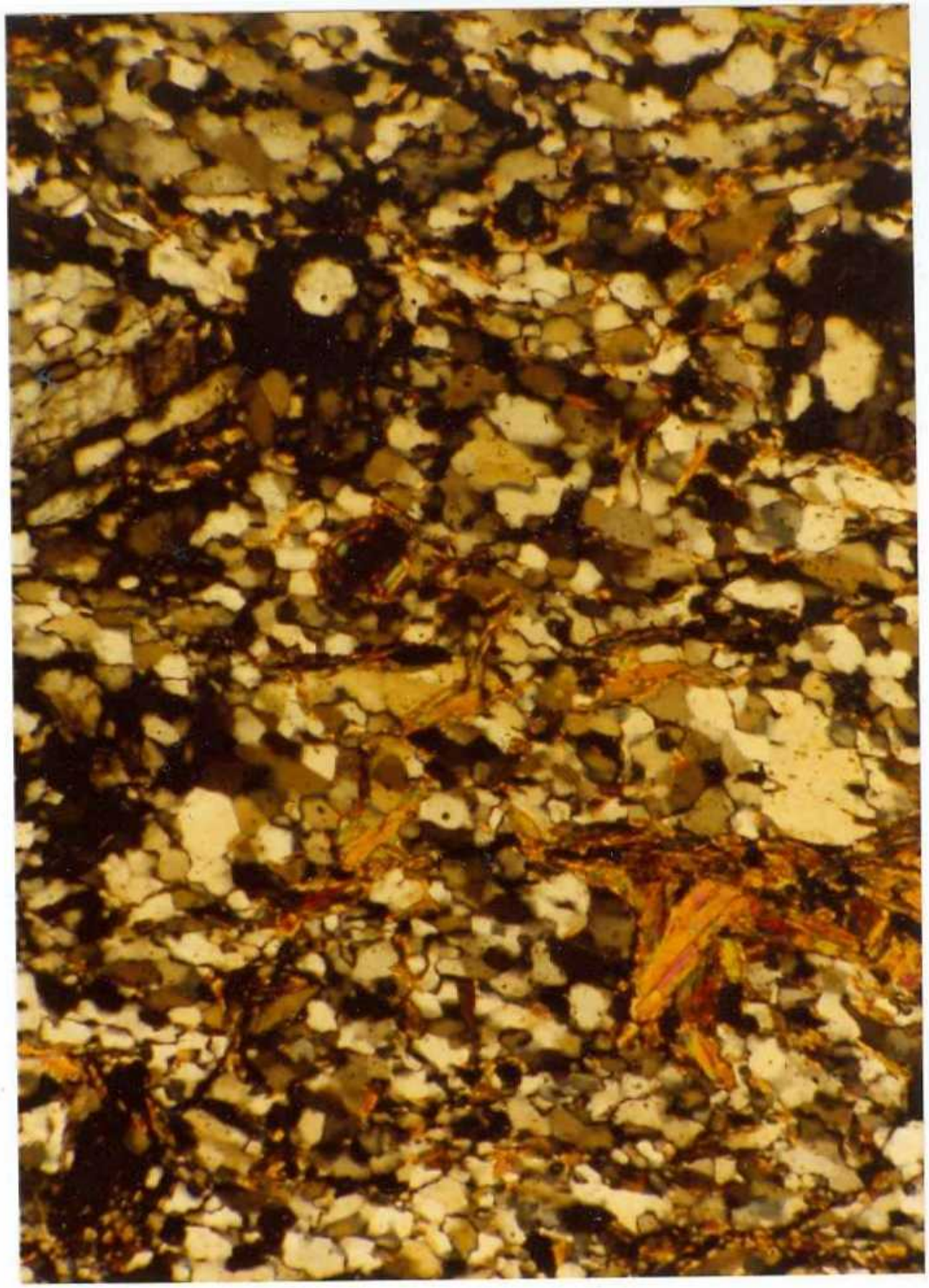


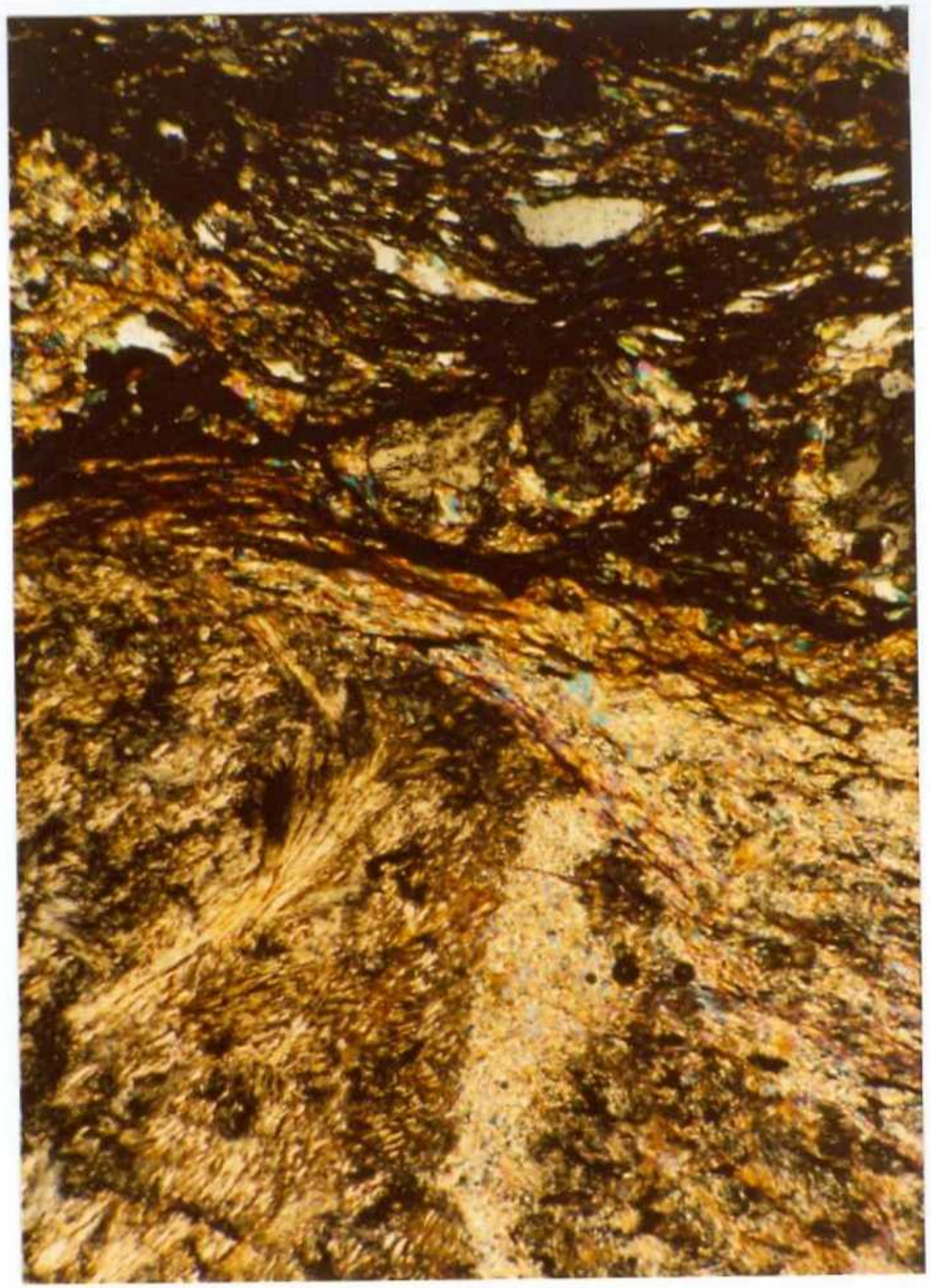
22-41-AD-VE-164

Cuarcita micácea feldespática. Cuarzo poligonal, fenoblastos de albita helicítica y lechos discontínuos microplegados de mica. Caldera. x80; N+.



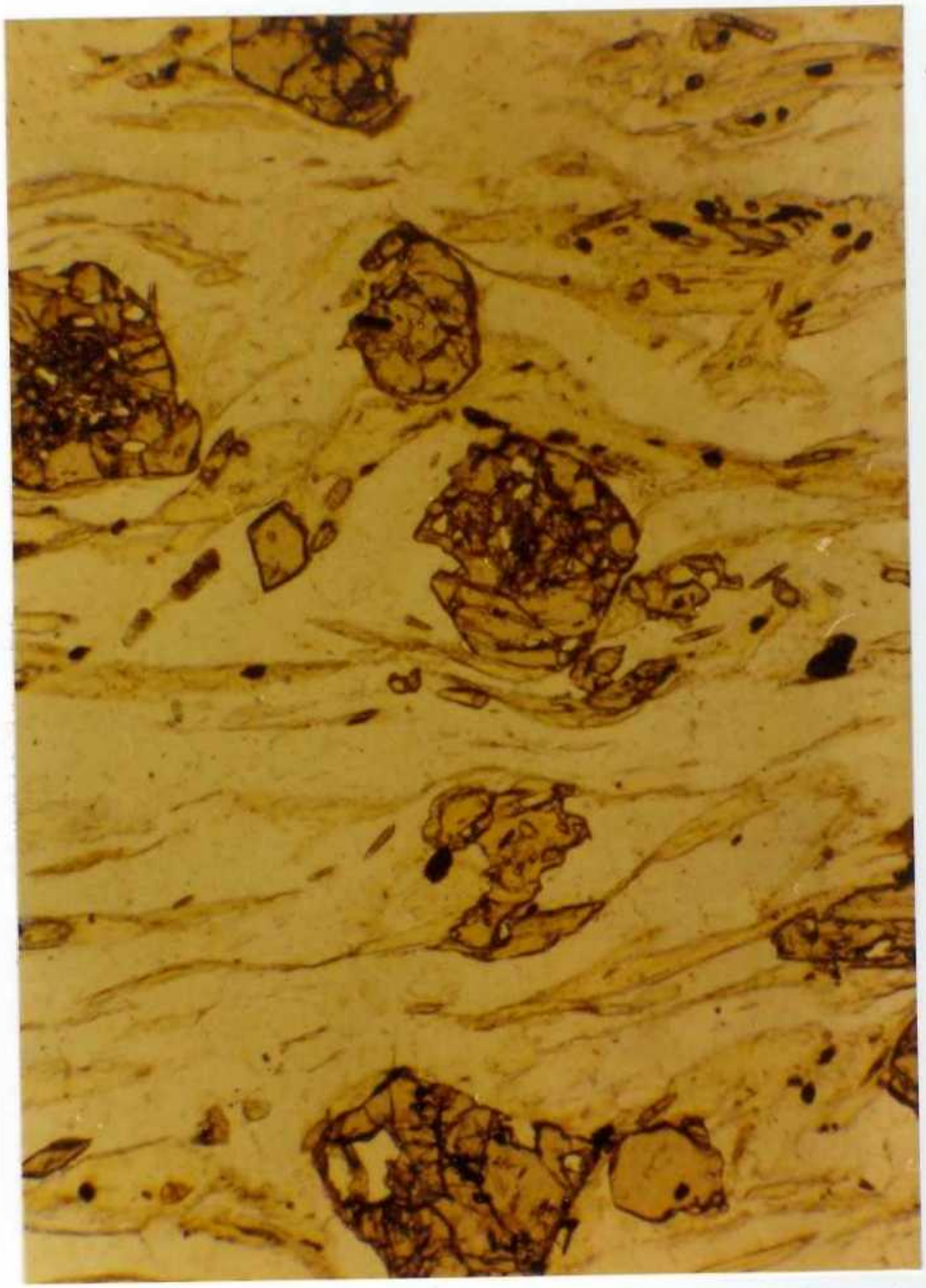
22-41-AD-VE-202

Micasquisto grafitoso con distena, estaurolita, granate. Porfidoblastos sericitizados de andalucitas preexistentes con núcleos (oscuro) transformados a distena microfibrosa. Fenoblasto de estaurolita (gris) también muscovitizado. Abundantes granates (negro) pequeños. x30; N+.



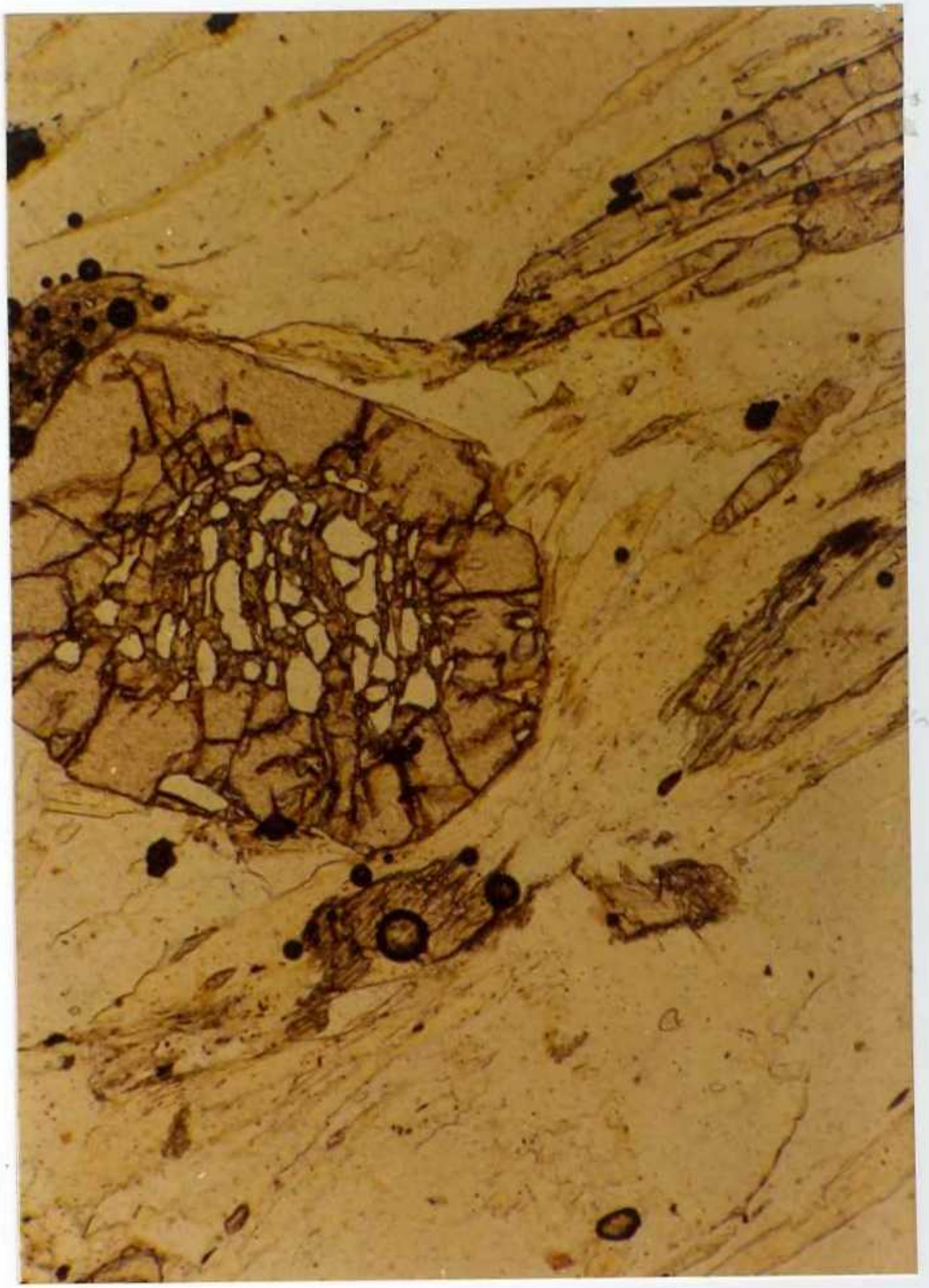
22-41-AD-VE-202

Otra zona de la misma lámina anterior. Parte del gran - porfidoblasto de andalucita reemplazado por distena fibrosa y sericita. Estaurolita (gris) también alterada - marginalmente a sericita. Caldera. x80; N+.



22-41-AD-VE-2085

Micasquisto con distena, granate, estaurolita y cloritoide. Euhedros de granate zonado y estaurolita (amarilla - corroida, rodeados por una matriz cuarzo-micácea con esquistosidad bien desarrollada. Alpujárride. x30: N//.



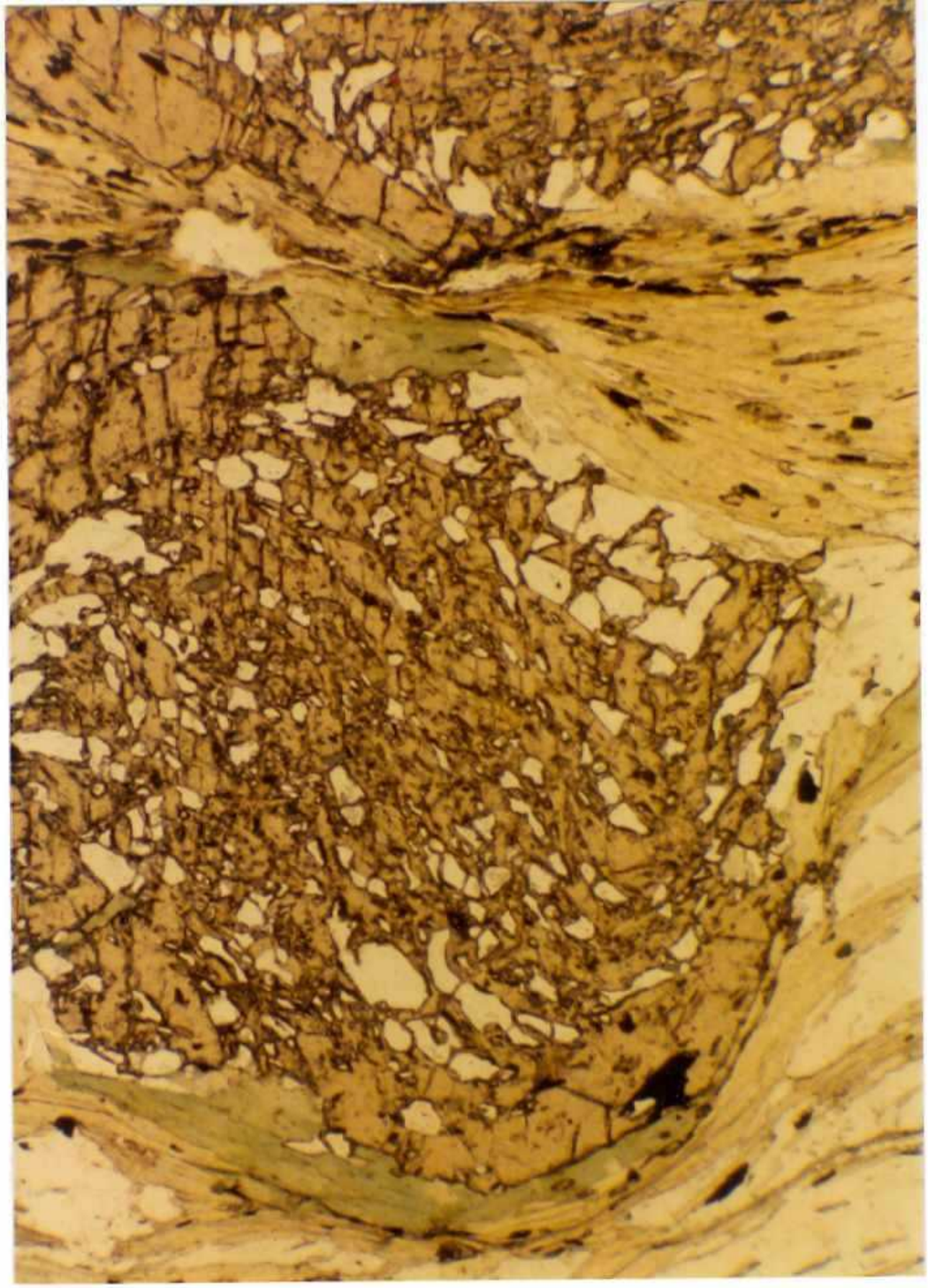
22-41-AD-VE-2085

La misma. Granate zonado y cristales de distena, parcialmente corroidos por mica blanca. Alpujárride, x80: N//.



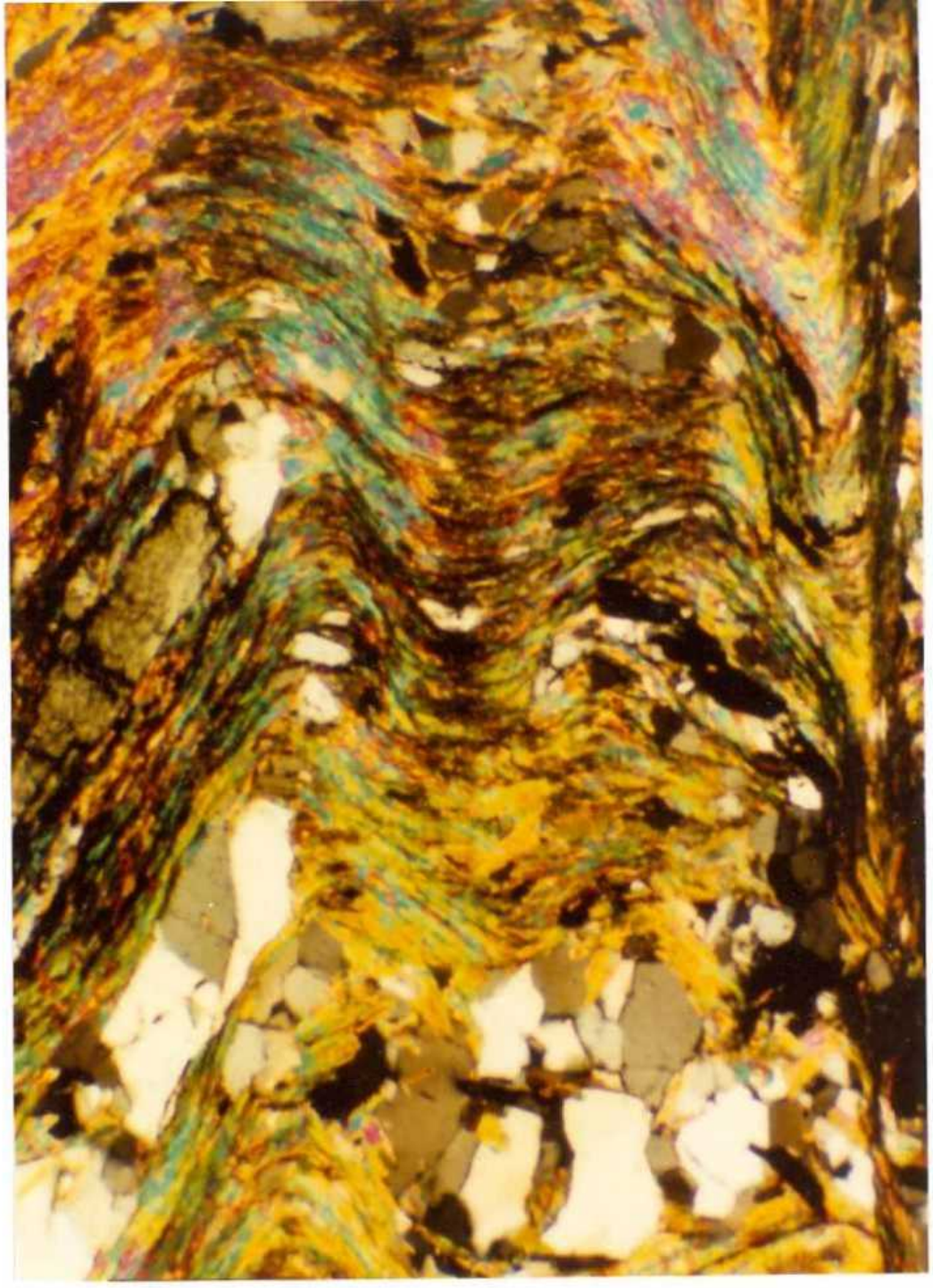
22-41-AD-VE-319

Alternancia de lechos cuarzosos y micáceos englobando abundantes granates euhedrales y otras menores de rutilo, turmalina, opaco y epidota. Láminas de mica blanca y biotita transversas (post). Sabinas. x80; N//.



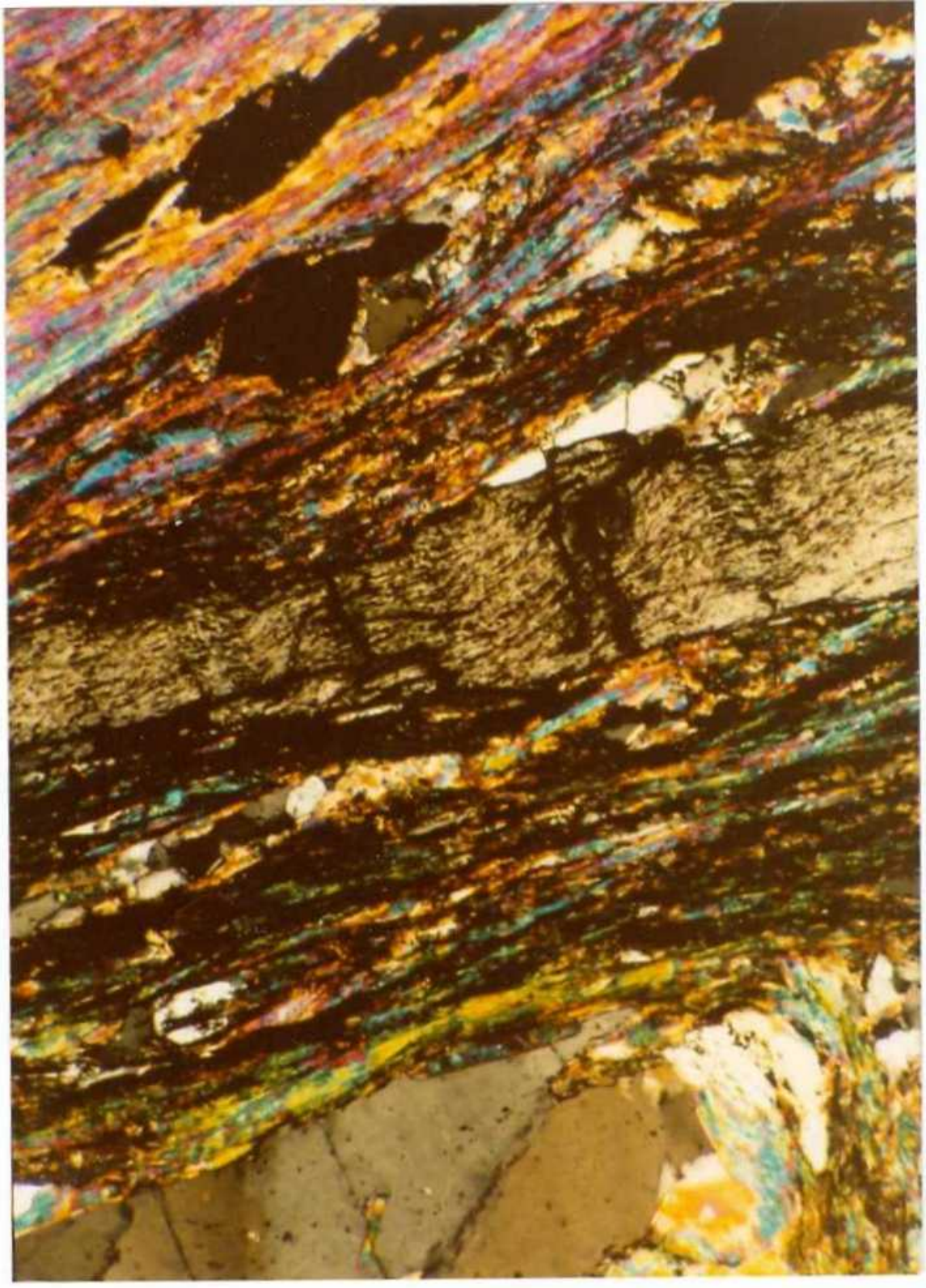
22-41-AD-VE-320

Fenoblasto de granate zonado con núcleo rotacional (sin-cinemático). Borde de recrecimiento masivo postectónico. Sabinas. x30; N//.



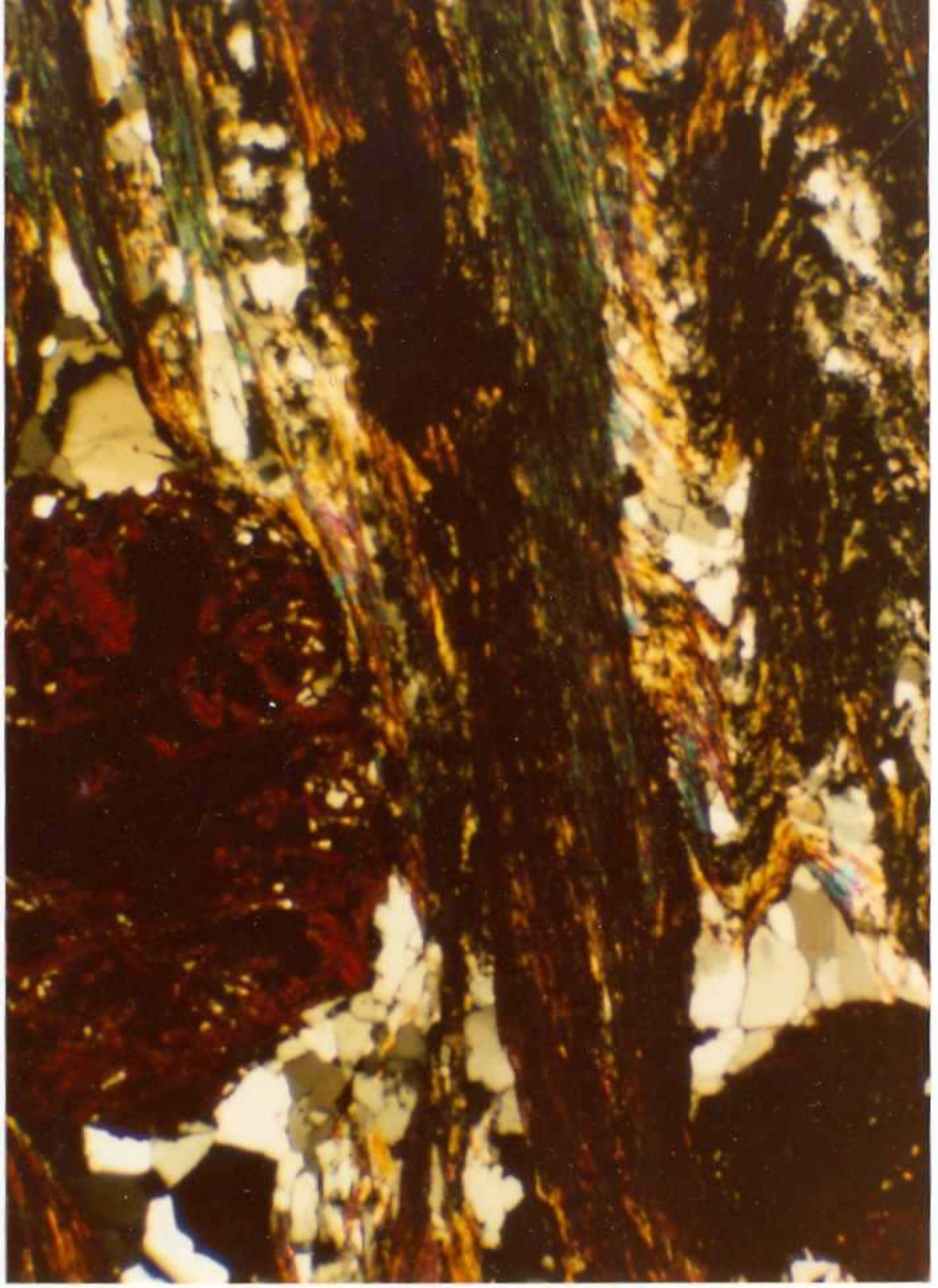
22-41-AD-VE-728

Micasquisto grafitoso con cloritoide. Caldera x30; N+. La esquistosidad principal es posterior al cloritoide situado a la izquierda de la foto el cual a su vez tiene inclusiones de grafito plegados en una fase anterior.



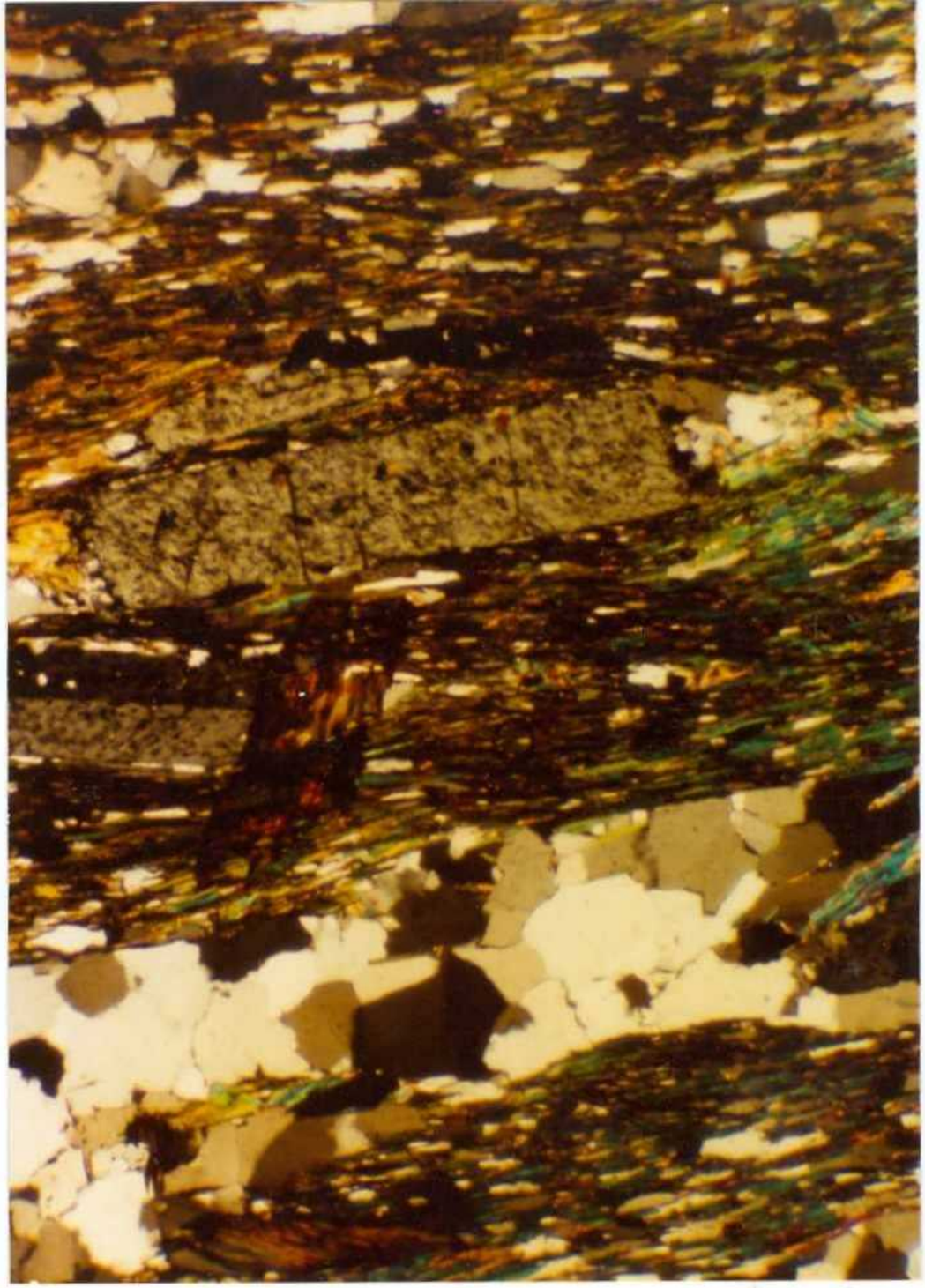
22-41-AD-VE-728

Otra zona de la anterior foto. Caldera. x80; N+.



22-41-AD-VE-753

Porfidoblastos de granate totalmente oxidado (negro-rojizo). S_2 microplegada por S_3 (vertical) bien desarrollada. Caldera. x30; N+.



22-41-AD-VE-756

Micasquisto grafitoso con cloritoide. Alternancia de lechos de cuarzo poligonal y micáceos englobando a cloritoides con claras sombras de presión. Biotita transversa. Caldera. x30; N+.



22-41-AD-VE-765

Micasquisto anfibólico-epidótico. Destacan porfidoblastos helicíticos y albita (blanco) y clorita (verde) gruesos y dispuestos en sentido transversal a la esquistosidad. Sabinas. x80: N//.



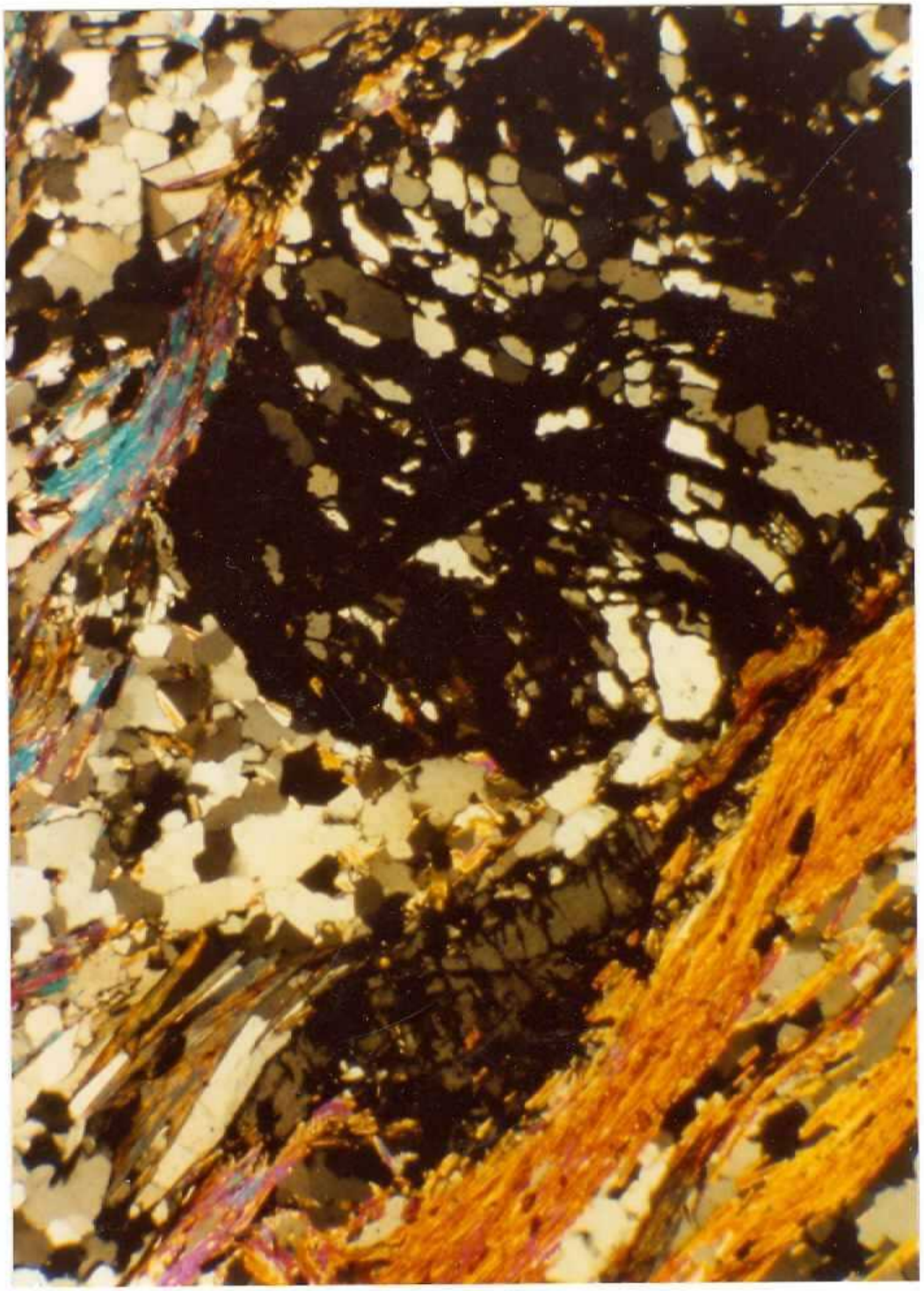
22-41-AD-VE-814

Filita microplegada. Fino bandeado tectónico característico. Alpujárride. x80: N+.



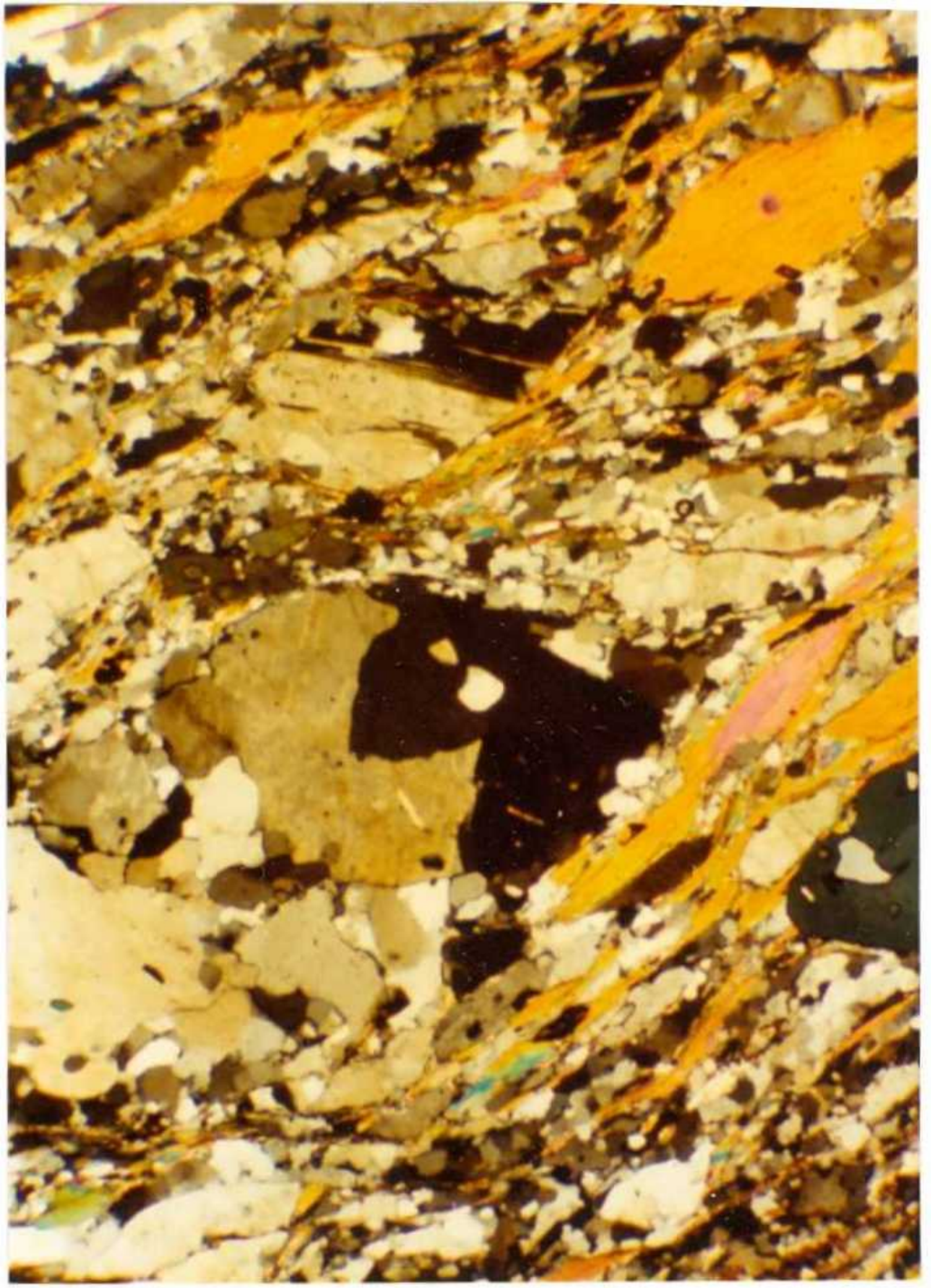
22-41-AD-VE-817

Mármol dolomítico. Mosaico granoblástico, homogranular de pequeños cristales de dolomita con orientación visible. Sabinas. x30; N+.



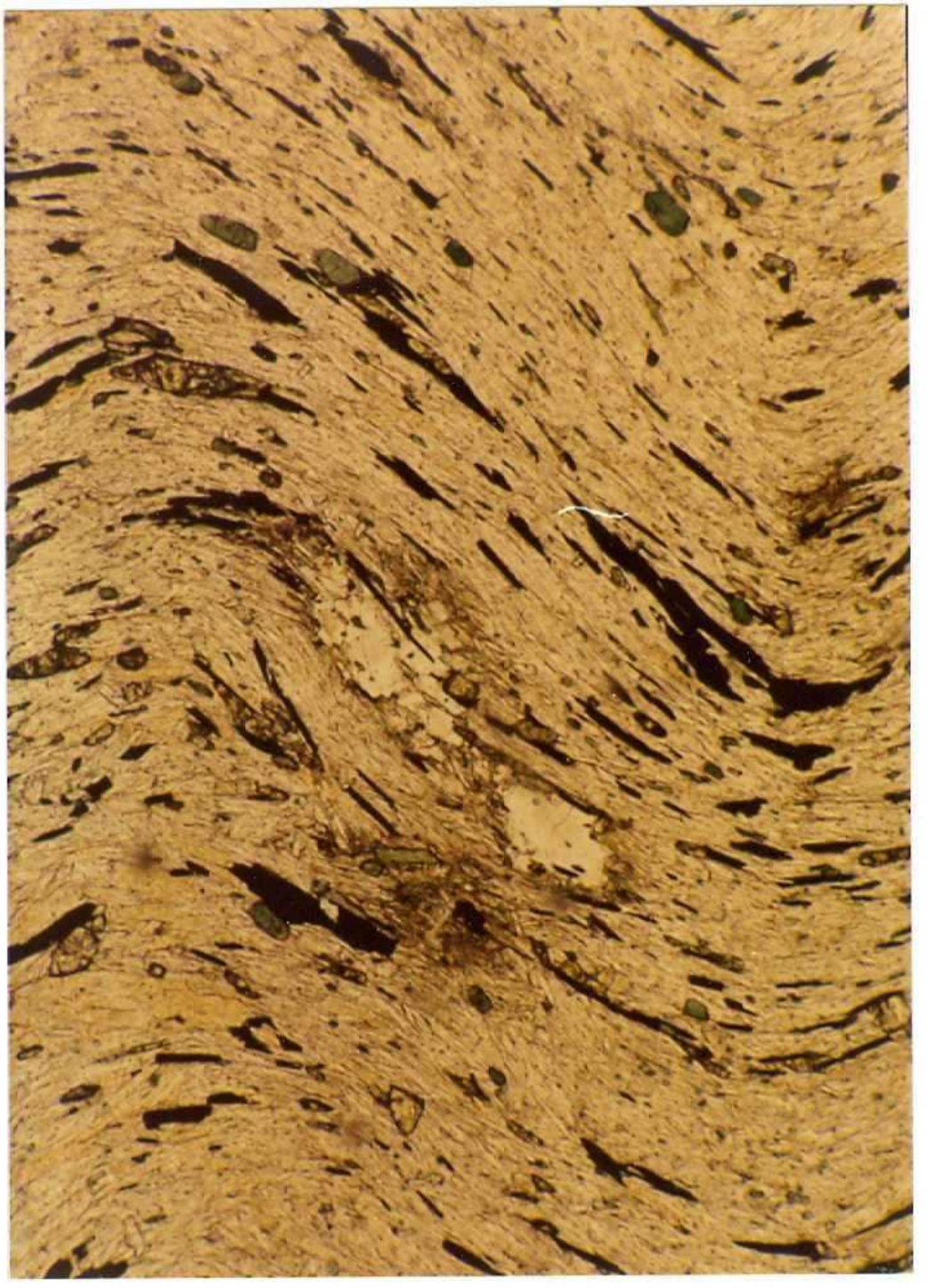
22-41-AD-VE-821

Micasquisto feldespático. Granate rotacional formado en fase preexistente y rodeado por la posterior S_3, en cuyos lechos micáceos crece albita y cuarzo poligonal. - Caldera x30; N+.



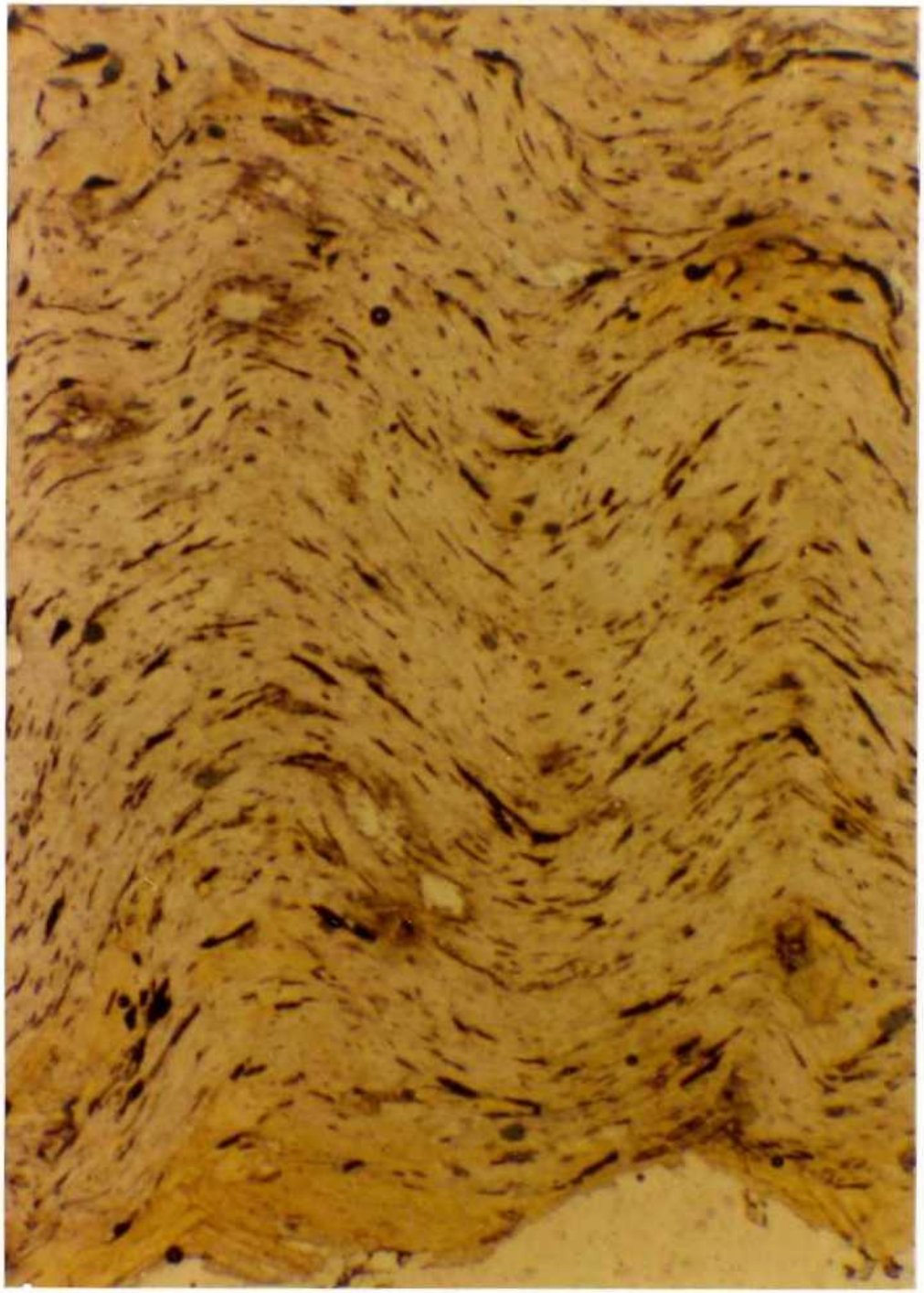
22-41-AD-VE-852

Ortognesis ojoso. Porfidoclastos de plagioclasa alcalina, muscovita y turmalina en matriz filonitizada. Sabinas. - x30; N+.



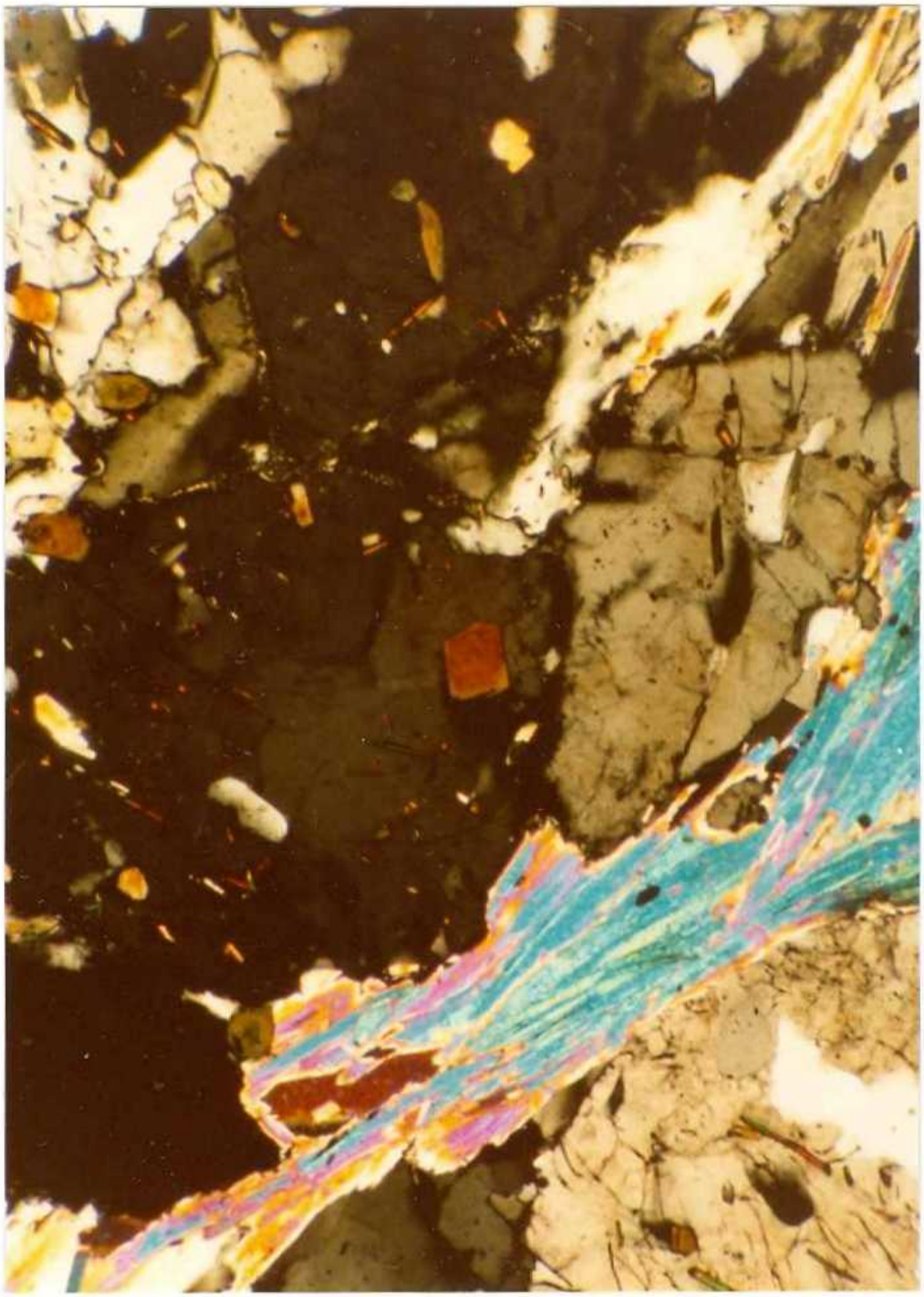
22-41-AD-VE-857

La misma micacita. Todos los componentes, salvo los fenoblastos de albita, se disponen en sentido de la orientación preferente microplegada. Sabinas. x30; N//.



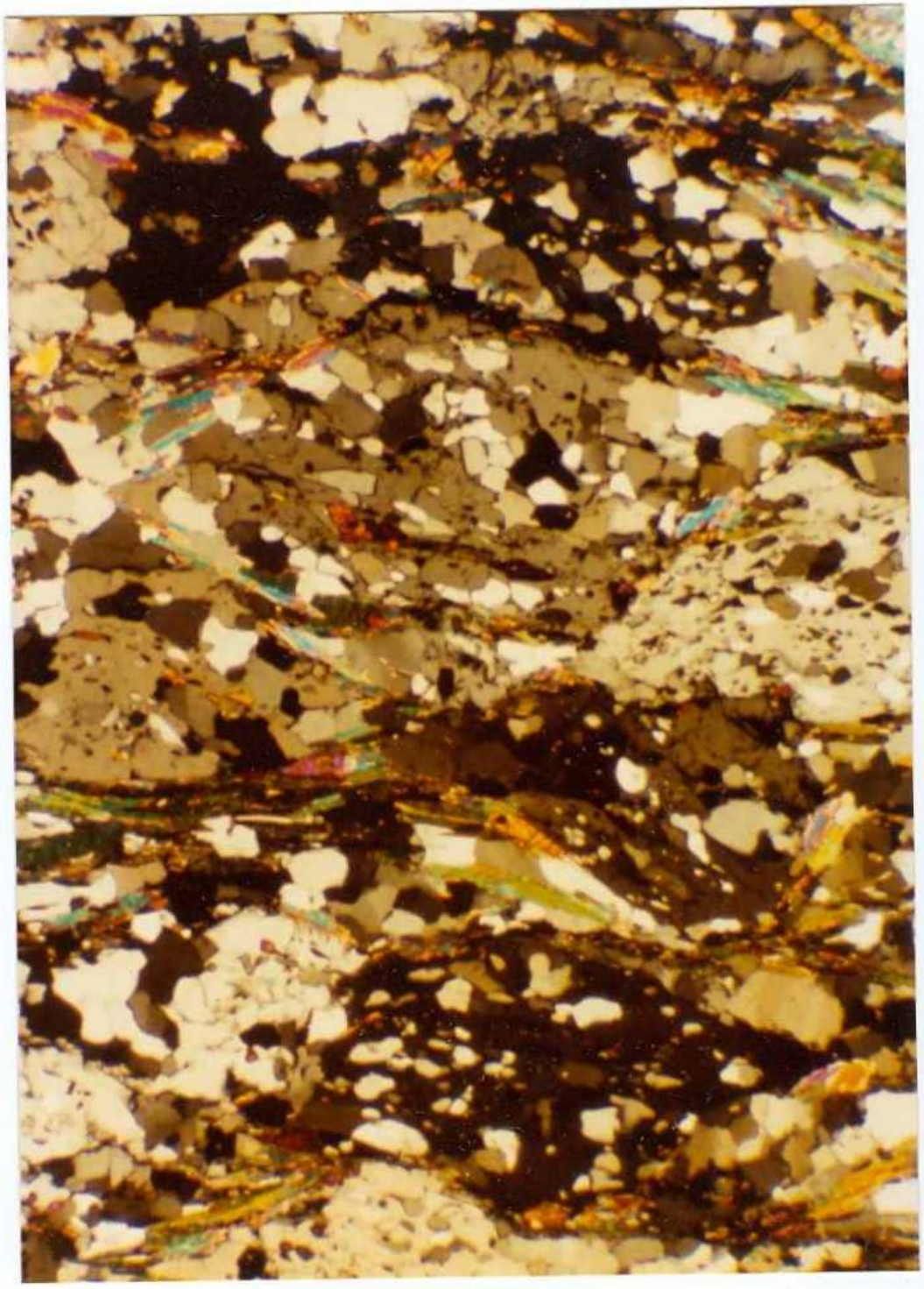
22-41-AD-VE-857

Micacita feldespático-epidótica. La mica blanca engloba numerosas inclusiones de turmalina, epidota y opaco sobre todo. Fenoblastos de albita (blanco, centro) postcinemáticos. Sabinas. x80; N//.



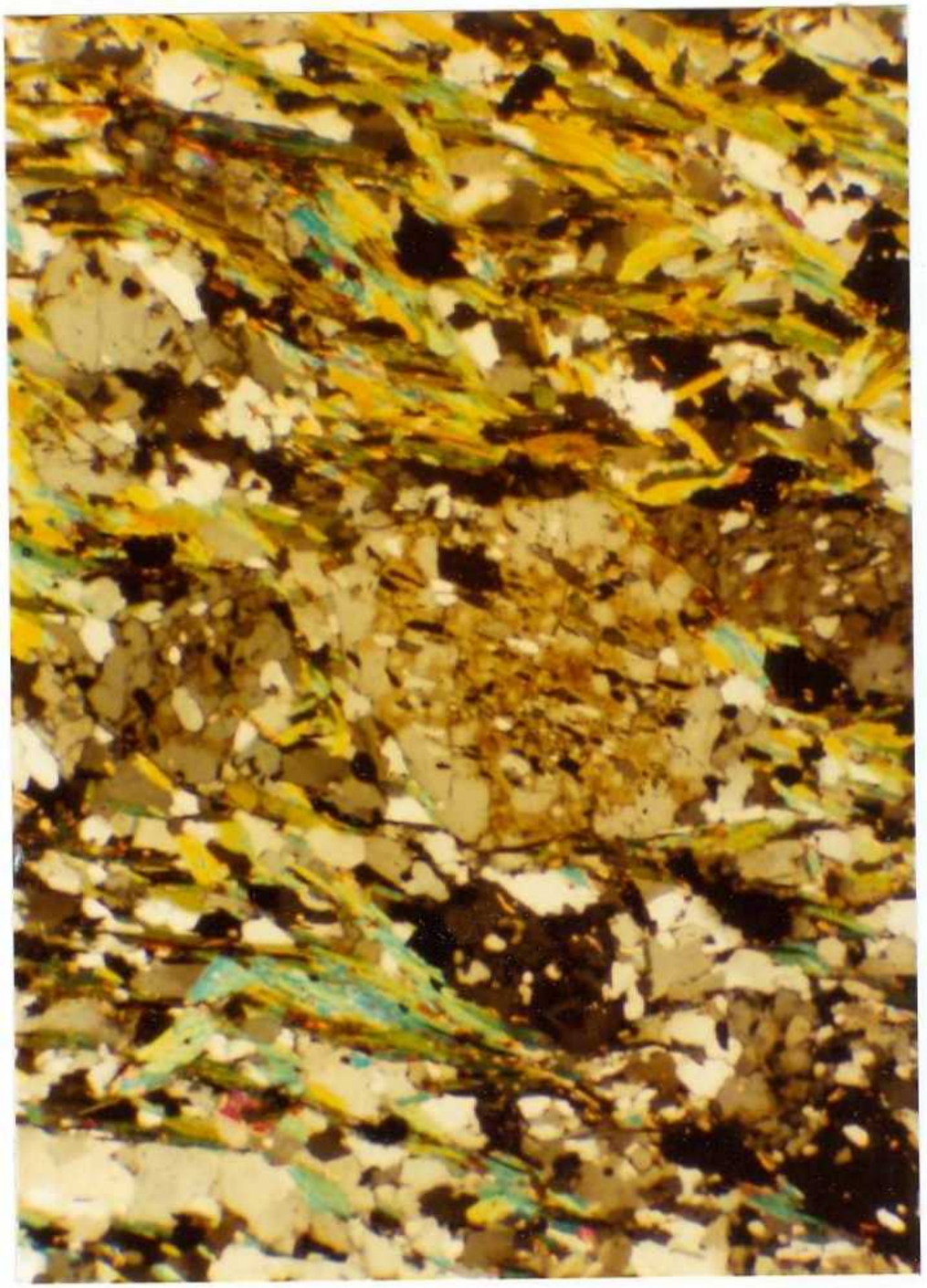
22-41-AD-VE-867

Micasquisto feldespático. Fenoblastos de albita con abundantes inclusiones de rutilo y turmalina prismática, las mismas que engloban los lechos micáceos. Caldera. x80; - N+.



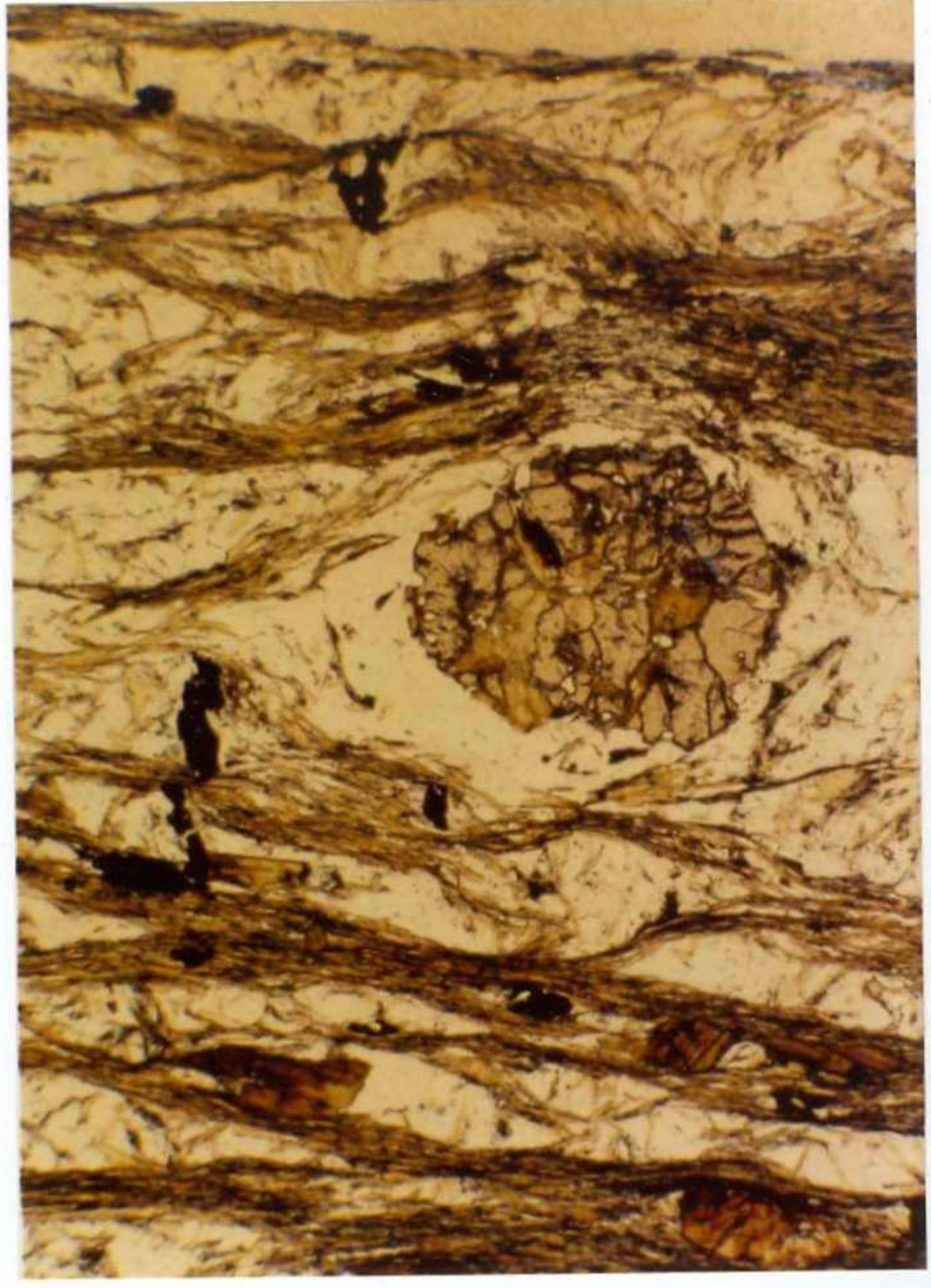
22-41-AD-VE-892

Micasquisto feldespático. Poiquiloblastos de albita con inclusiones helicíticas de epidota-cuarzo-opaco-turmalina. Sabinas. x30; N+.



22-41-AD-VE-894

Micasquisto feldespático. Cristales de albita helicítica creciendo sobre los lechos micáceos, cuya longitud máxima está contenida en los planos de esquistosidad. Sabinas. x30; N+.



22-41-AD-VE-915

Micasquisto grafitoso-feldespático. Granate perteneciente al primer episodio de mineralogénesis. S_2 residual. Albita helicítica en lechos de S_3. Biotita transversa - postcinemática. Caldera. x30; N//.



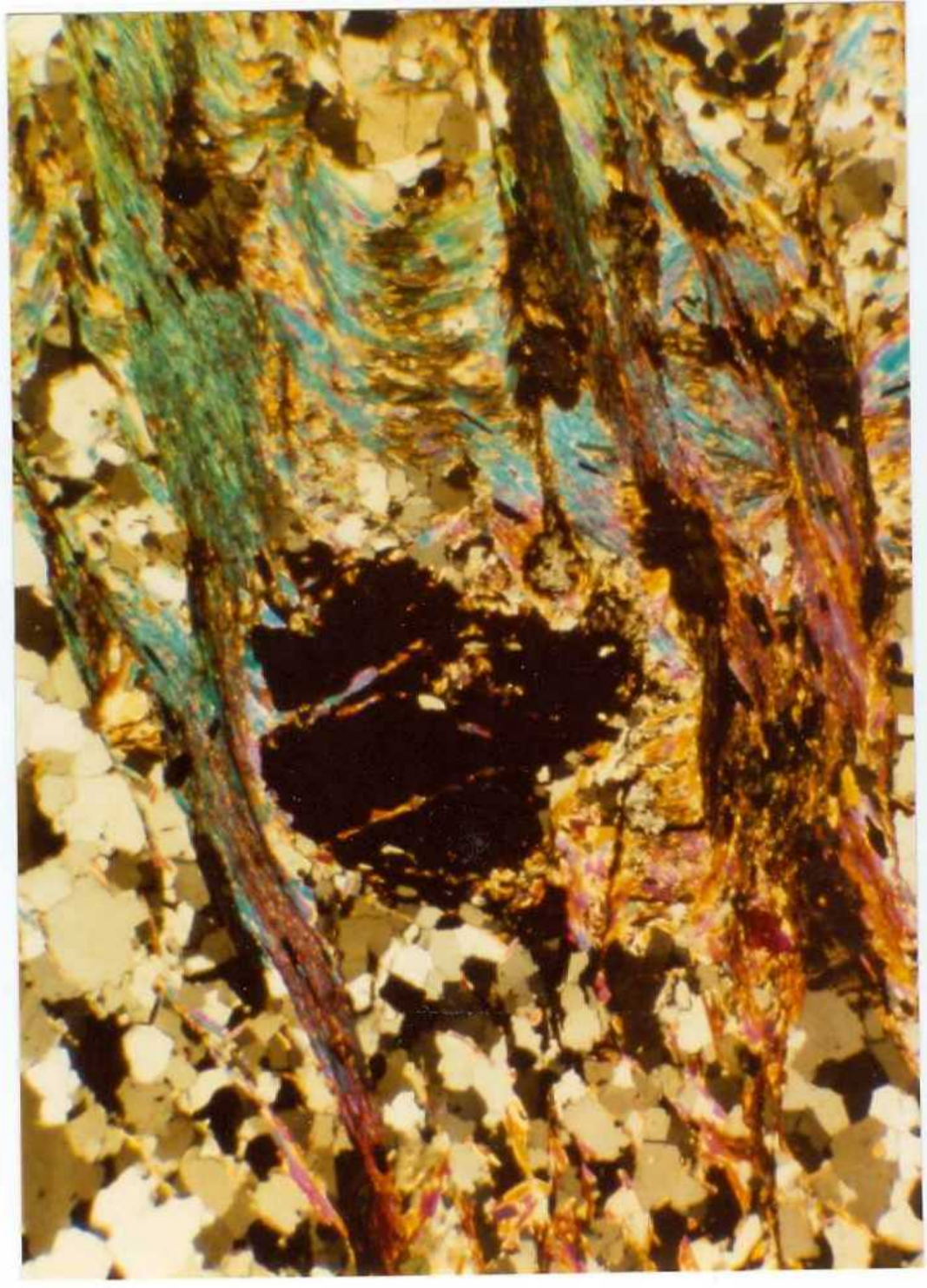
22-41-AD-VE-933

Anfibolita de albita-epidota. Anfíbol verde azulado y pistacita prismáticos, albita (blanco) intergranular. Esporádicamente biotita rojiza, rutilo y apatito. Sabinas. x80; N//.



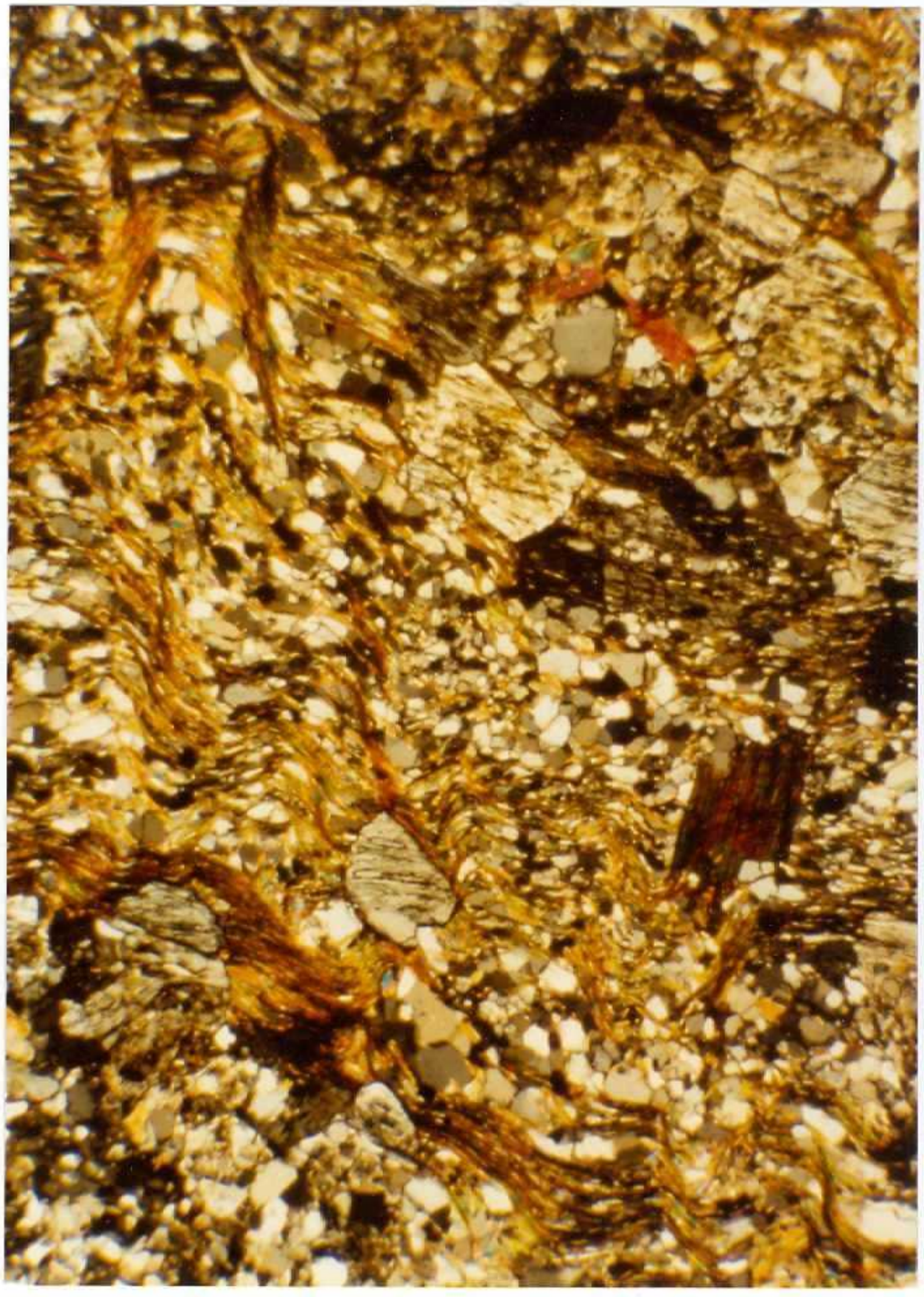
22-41-AD-VE-939

Calcosquisto micáceo-feldespático. Calcita maclada importante. Albita, cuarzo, mica blanca, esfena subordinada. Sabinas. x30; N+.



22-41-AD-VE-955

Granate (negro) corroido y alterado a mica blanca y óxidos de hierro, sintectónico de S_2. S_3 vertical bien desarrollada. Caldera. x30; N+.



22-41-AD-VE-986

Micasquisto feldespático. Fenoblastos de albita helicítica (grafito, cuarzo y otras inclusiones) intercinemática entre S_2 y S_3. Biotita transversa post S_3. Núcleo x30; N+.



22-41-AD-VE-986

El mismo micasquisto feldespático. Albita helicítica crece sobre los lechos micáceos. Si concordante con S_2. S_3 por lo general se adapta a ellos. Núcleo, x80; N+.